

تأثیر دمای بازپخت بر خواص ساختاری و مغناطیسی لایه نازک آهن-پلاتین

یونس جلالیزاده و علی قاسمی

دانشگاه صنعتی مالک اشتر

(دریافت مقاله: ۹۳/۰۲/۲۶ - پذیرش مقاله: ۹۲/۰۷/۱۴)

چکیده

هدف اصلی این تحقیق، بررسی خواص ساختاری و مغناطیسی لایه نازک FePt نسبت به دمای بازپخت است. لایه‌های نازک FePt به روش کندوپاش روی زیرلایه شیشه‌ای با نرخ $\frac{\text{nm}}{\text{min}}$ ۶ و با توان W ۱۱۰ رسوب داده شدند. خلاً اولیه محفظه کندوپاش برابر 5×10^{-7} Torr و فشار گاز آرگون ۳ در نظر گرفته شد. پس از تهیه نمونه‌ها، در محدوده 450°C - 650°C به مدت ۳۰ دقیقه بازپخت شدند. شناسایی فازی لایه نازک با استفاده از پراش اشعه ایکس (XRD)، انجام شد. با استفاده از میکروسکوپ الکترونی رویشی (SEM) اندازه و یکنواختی دانه‌ها بررسی و مقایسه گردید. مورفوژوئی و زیری سطح با استفاده از میکروسکوپ نیروی اتمی (AFM) تعیین شد. همچنین خواص مغناطیسی لایه‌های نازک بازپخت شده با استفاده از مغناطومتر ارتعاشی (VSM) بررسی شد. نتایج XRD نشان داد که با بازپخت لایه نازک در دمای 450°C فاز FePt با شبکه منظم L1₀ تشکیل و با افزایش دمای بازپخت پارامتر نظم (S) افزایش یافته و در دمای بازپخت 650°C به بیشترین مقدار خود می‌رسد. همچنین نتایج SEM و AFM نشان داد که علاوه بر افزایش اندازه دانه، زیری سطح نیز در دماهای بالاتر افزایش یافته و در دمای بازپخت 650°C ساختار سوزنی شکل در داخل یک ساختار صفحه‌ای ایجاد می‌شود. خواص مغناطیسی لایه‌های نازک توسط رسم منحنی‌های پسماند ارزیابی شد. بازپخت لایه‌های نازک FePt در دمای 550°C به دلیل افزایش پارامتر نظم، فاز فرومغناطیس سخت شد. اما در دمای 600°C بهترین خواص ساختاری و مغناطیسی حاصل شد.

واژه‌های کلیدی: لایه نازک، آهن پلاتین، فرمغناطیس، نیروی پسماند زدا.

Influence of annealing temperature on the structural and magnetic properties of nanostructured FePt thin films

Y. Jalalizadeh and A. Ghasemi

Department of Materials Engineering, Malek Ashtar University of Technology

(Received 6 May 2014, accepted 6 October 2014)

Abstract

The main goal of this study is to investigate the structural and magnetic properties of FePt thin film with respect to the annealing temperature. The FePt thin films were deposited by RF magnetron sputtering on Corning glass substrates at a room temperature. Base pressure was kept constant at 2×10^{-7} Torr. The Ar pressure was 3mTorr. Thin films was sputtered with an rf power supply at 110 W, yielding a rate of $6 \frac{\text{nm}}{\text{min}}$. After deposition, samples were annealed in the range of $450\text{-}650^{\circ}\text{C}$ for 30 min. Phase identification of thin films was performed using X-ray diffraction (XRD). With employing SEM, the size and uniformity of grains were studied. The morphology and surface roughness was also determined using an atomic force microscopy (AFM). Moreover magnetic properties of annealed thin films were evaluated using a vibrating sample magnetometer (VSM). XRD results showed that the ordered FePt structure is formed at 450°C and with an increase in annealing temperature, ordering parameter were enhanced and at 650°C reaches at its maximum value. On the other hand surface roughness and grain size increased with increasing temperature. The topography of the film consists of two main kinds of grain: those with a needlelike shape and those in form of platelets. According to the hysteresis loops, hard ferromagnetic FePt phase is formed at 550°C due to high order parameter. However the best structural and magnetic properties were obtained at 650°C .

Keywords: Thin films, FePt, Sputtering, ferromagnetic, Coercivity.

E-mail of corresponding authors: younes.jalalizadeh@gmail.com

مقدمه

دانه، عیوب شبکه‌ای و رسوبات داخل لایه نازک بستگی دارد؛ بنحوی که با افزایش مرز دانه‌ها، عیوب و رسوبات، نیروی پسماندزدا افزایش می‌یابد. به همین دلیل تمایل به کاهش اندازه دانه وجود دارد. اما همانطور که اشاره شد این اندازه نباید کمتر از مقدار بحرانی باشد[۱۳-۱۶]. قبل از آلیاژهای کبات به عنوان حافظه مغناطیسی استفاده می‌شد ولی این حافظه‌ها تنها دانسته اطلاعات ذخیره شده را تا $\frac{\text{Tbit}}{\text{in}^2}$ ۱ افزایش دادند. از این رو برای دستیابی به دانسته بیشتر ذخیره‌سازی اطلاعات نیاز به آلیاژهای مغناطیسی جدیدتری است. اساس مواد مغناطیسی دائم جدید، ترکیبات بین فلزی، عناصر نادر خاکی و فلزات انتقالی می‌باشد. به تازگی تحقیقات زیادی روی لایه‌های نازک مغناطیسی نظری NdFeB , SmCo و FePt صورت گرفته است تا علاوه بر افزایش دانسته اطلاعات ذخیره شده به بیش از $\frac{\text{Tbit}}{\text{in}^2}$ ۱، زمان ماندگاری آنها نیز افزایش یافته و به $10^9 \times 10^9$ سال برسد[۱۷ و ۱۸]. آهن پلاتین و $(\text{SmCo}, \text{Nd}_2\text{Fe}_{14}\text{B})$ ترکیبات حاوی عناصر نادر خاکی خواص مغناطیسی بهتری نسبت به آلیاژهای برپایه کبات کروم دارند. اما پایداری شیمیایی ضعیف ترکیبات نادرخاکی، کاربرد آنها را در لایه‌های نازک محدود می‌کند. ویژگی منحصر به فردی که آلیاژهای آهن پلاتین در مقابل ترکیبات پایه فلزات انتقالی و نادر خاکی دارند این است که از نظر شیمیایی خشتمی بوده و نیز دارای نرمی مناسبی هستند[۱۹].

آلیاژ آهن پلاتین در دهه‌های گذشته به خاطر کاربرد در قطعاتی که باید مغناطیس دائم داشته باشند و نیز به خاطر مقاومت به خوردگی بسیار مناسب، توجهات زیادی را به خود جلب کرده است. طبق دیاگرام فازی آهن-پلاتین، این آلیاژ با ترکیب شیمیایی $\text{Fe}_{50}\text{Pt}_{50}$ در دمای بیش از 1300°C به صورت محلول جامد مکعبی مرکز سطح نامنظم با شبکه Al است. پaramتر شبکه این فاز برابر $3/807\text{\AA}$ است. به خاطر پایین بودن ناهمسانگردی مغناطوکریستالی آن، برای حافظه‌های مغناطیسی مفید

با افزایش روز افرون سیستم‌های کامپیوترا نیاز به حافظه‌های با ظرفیت بالا در صنعت احساس می‌شود. ذخیره سازی اطلاعات به شکل امروزی از طریق مغناطیس لایه‌های نازکی که دارای خواص فرومغناطیس سخت هستند، استفاده می‌شود و اطلاعات به صورت بخش‌های کوچک مغناطیسی روی آن ذخیره می‌شود[۴-۱]. برای افزایش ظرفیت حافظه‌ها باید تعداد واحدهای مغناطیسی در سطح مشخص افزایش یابد. در سابق داده‌ها به صورت افقی روی لایه نازک ذخیره می‌شد و به آن‌ها حافظه‌های ذخیره کننده طولی گفته می‌شود. اما با این نوع ذخیره سازی تعداد واحدهای مغناطیسی در سطح کاهش می‌یابد. برای حل این موضوع به تازگی تلاش‌های زیادی صورت گرفته است[۱۱-۵] تا اینکه در اواخر قرن بیستم حافظه‌های ذخیره کننده عمودی معرفی شدند[۱۲]. در این حالت بیت‌ها به صورت عمود بر سطح لایه نازک ذخیره می‌شوند؛ در نتیجه دانسته اطلاعات ذخیره شده در واحد اطلاعات با موفقیت صورت گیرد، باید ضخامت لایه نازک به کمتر از 100nm کاهش یابد تا علاوه بر ناهمسانگردی مغناطوکریستالی، ناهمسانگردی شکل ایجاد شود. در این نوع از ناهمسانگردی در ضخامت‌های کمتر به دلیل فاصله بسیار کم سطوح، تمایل دوقطبی‌های مغناطیسی برای قرار گیری در جهت عمودی افزایش می‌یابد.

راه حل دیگری که موجب افزایش دانسته اطلاعات می‌شود، کاهش اندازه دانه‌های لایه نازک مغناطیسی است. اما با کاهش اندازه دانه از یک مقدار بحرانی، پدیده سوپرپارامغناطیس اتفاق افتاده و اطلاعات ذخیره شده از بین می‌روند. برای رفع این مشکل باید از مواد فرومغناطیس سخت با ناهمسانگردی مغناطوکریستالی بالا استفاده شود تا نیروی پسماندزدا افزایش یابد. علاوه بر ناهمسانگردی مغناطوکریستالی، نیروی پسماندزدا به اندازه

بهینه انتخاب و مشخص شد که لایه نازک آهن پلاتین با شبکه L1₀ می‌تواند در آینده به منظور افزایش دانسیته و ماندگاری اطلاعات ذخیره شده در حافظه‌های مغناطیسی مورد استفاده قرار گیرد.

مواد و روش آزمایش‌ها

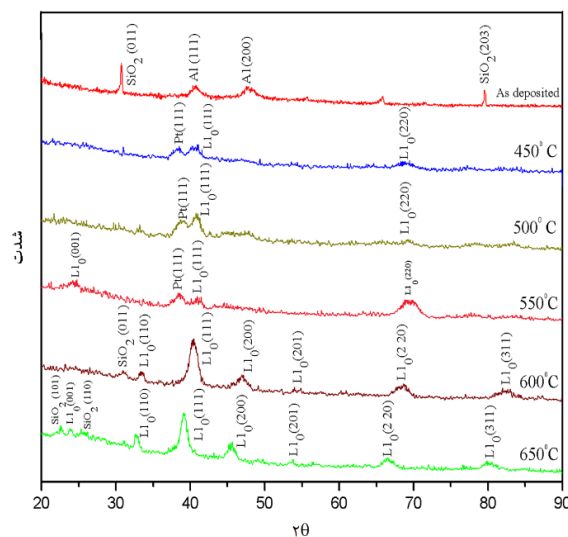
در این پژوهش Corning glass با قطر ۱ اینچ انتخاب شد. قبل رسوب‌دهی لایه‌های نازک، سطح زیرلایه‌ها توسط استون و الكل و به صورت التراسونیک و سپس توسط آب دیونیزه شده تمیز شدند و با هوای فشرده خشک شدند. روش اعمال لایه‌های نازک آهن پلاتین، استفاده از کندوپاش مگترون با امواج رادیویی بود. هدف مورد استفاده آلیاژ Fe₅₀Pt₅₀ با خلوص ۹۹/۹٪ و با ضخامت ۱/۵mm بوده و فاصله آن تا زیرلایه حدود ۱۸۵mm بود. قبل از شروع عملیات کندوپاش برای تمیز کردن سطح هدف، کندوپاش اولیه به مدت ۲۰ دقیقه انجام شد. قبل از رسوب‌دهی لایه نازک FePt، لایه میانی پلاتین - ایریدیم با ضخامت ۲nm رسوب داده شد. نرخ رسوب‌دهی آن $\frac{\text{nm}}{\text{s}}$ ۰/۰۵ و فشار درون محفظه برابر Torr ۱۰^{-۸} بود. همچنین توان رسوب دهی ۴۵W بود.

خلاً اولیه داخل محفظه Torr ۱۰^{-۷} و فشار گاز آرگون ۳ mTorr در نظر گرفته شد. عملیات رسوب‌دهی لایه نازک با نرخ رسوب دهی $\frac{\text{nm}}{\text{min}}$ ۶ به مدت ۱۵ دقیقه، با توان رسوب‌دهی ۱۱۰W در دمای محیط انجام شد. با شروع به کار لایه نشانی، برای به وجود آمدن پوشش یکنواخت، صفحه زیرین زیرلایه‌ها با سرعت ۱۵ rpm می‌چرخید.

بعد از ساخت، نمونه‌ها با کوره مقاومتی لوله‌ای کوارتزی و کنترل کننده دقیق ($\pm 3^{\circ}\text{C}$) بازپخت شدند. نرخ گرمایش نمونه‌ها $\frac{{}^{\circ}\text{C}}{\text{s}}$ ۱۵ بود. در حین بازپخت جریانی از گاز آرگون با خلوص ۹۹/۹٪ و با فشار ۱ اتمسفر عبور می‌کرد. دماهای انتخابی ۴۵۰، ۵۰۰، ۵۵۰، ۶۰۰ و ۶۵۰^۰C و زمان بازپخت برای تمام نمونه‌ها ۳۰ دقیقه بود. برای شناسایی فاز از آزمون تفرق اشعه ایکس (XRD) از نوع

نیست و از جمله مواد مغناطیسی نرم به شمار می‌آید. ثابت ناهمسانگردی مغناطیسی (K_H) و نیروی پسماندزدای مغناطیسی (H_c) کم این نوع ساختار باعث می‌شود که در استفاده به عنوان حافظه مغناطیسی مناسب نباشد. در دمای کمتر از ۱۳۰۰^۰C یک استحاله نامنظم به منظم در این آلیاژ رخ داده و طی آن از شبکه مکعب مرکز سطح A1 به ابر شبکه تراگونال با ساختار L1₀ تبدیل می‌شود. این فاز ساختاری شبیه CuAu دارد و ثوابت شبکه a و c آن به ترتیب برابر $\frac{\text{Å}}{\text{۳/۸۵}}$ و $\frac{\text{Å}}{\text{۳/۷۱}}$ است. بنابراین تراگونالیته $\left(\frac{c}{a}\right)$ شبکه به ۰/۹۶ کاهش می‌یابد. در این ساختار اتم‌های پلاتین در مکان‌های (۰,۰,۰)، (۰,۱/۲,۰) و (۱/۲,۰,۰) و اتم‌های آهن در مکان‌های (۱/۲,۰,۰)، (۰,۱/۲,۰) و (۰,۰,۱/۲) قرار گرفته و نظم بلند برد (LRO) در شبکه ایجاد می‌شود. با انجام این استحاله این آلیاژ به یکی از بهترین مواد فرومغناطیسی سخت تبدیل می‌شود به طوریکه K_H آن در حالت بالک به $\frac{\text{erg}}{\text{Cm}^3}$ 7×10^7 می‌رسد. برای لایه‌های نازک این مقدار برابر ۲۹۸K بوده و مغناطش اشباع فاز منظم در $\frac{\text{erg}}{\text{Cm}^3}$ برابر $1140 \frac{\text{emu}}{\text{Cm}^3}$ است. در این حالت می‌توان از لایه نازک FePt در حافظه مغناطیسی مورد استفاده کرد [۲۱] و [۲۰]. در این پژوهش لایه نازک آهن پلاتین بر زیرلایه Corning glass به روش کندوپاش مگترون با امواج رادیویی اعمال شد. ضخامت لایه‌های نازک برابر ۱۰۰nm است. سپس نمونه‌ها در کوره مقاومتی در دماهای مختلف به مدت ۳۰ دقیقه بازپخت شدند. نرخ گرمادهی $\frac{\text{K}}{\text{s}}$ ۱۵ و دمای بازپخت ۴۵۰^۰C تا ۶۵۰^۰C انتخاب گردید. هدف از بازپخت لایه‌های نازک به دست آوردن ناهمسانگردی مغناطیسی، افزایش نیروی پسماندزدا و در نتیجه افزایش زمان ماندگاری اطلاعات ذخیره شده است. منحنی‌های پسماند لایه‌های نازک توسط مغناطومتر ارتعاشی رسم گردید و افزایش نیروی پسماندزدا با دمای بازپخت، به افزایش پارامتر نظم و ثابت ناهمسانگردی مغناطیسی نسبت داده شد. با در نظر گرفتن مورفوЛОژی و زیری سطحی لایه‌های نازک، دمای بازپخت

از این پیک‌ها $\text{Pt}(111)$ است و نشان از وجود پلاتین خالص در نمونه‌های لایه‌نازک است. پیک دیگر مربوط به اندیس صفحات مختلف SiO_2 است. می‌توان نتیجه‌گیری کرد که اشعه ایکس به درون زیرلایه نیز نفوذ کرده است.



شکل ۱. الگوی تفرق اشعه ایکس لایه‌های آنیل شده در دماهای مختلف.

با بررسی‌های دقیق‌تر مشاهده می‌شود که با افزایش دمای بازپخت موقعیت پیک‌های (111) و (220) ابرشبکه FePt تتراگونال به سمت زوایای کم جابجا شده است. پارامترهای شبکه FePt با استفاده از روابط زیر و با در نظر گرفتن پیک‌های (111) و (220) محاسبه گردید:

$$\frac{n\lambda}{2d} = \sin\theta \quad (1)$$

$$\frac{1}{d_{hkl}^2} = \frac{h^2+k^2}{a^2} + \frac{l^2}{c^2} \quad (2)$$

در رابطه ۱، d فاصله صفحات بلوری، λ طول موج اشعه ایکس فرودی و θ زاویه برآگ، $n=1$ مرتبه پراش و همچنین در رابطه ۲، h و k و l اندیس‌های میلر و a ، c ثابت‌های شبکه است.

طبق رابطه برآگ جابجایی موقعیت پیک‌های (111) و (220) به سمت زوایای کم نشان دهنده افزایش فاصله صفحات نامبرده است. بنابراین این نتیجه حاصل می‌شود که در حین انجام استحاله منظم شدن، با نفوذ اتم‌های آهن

Grazing و از دستگاه مدل D8ADVANCE مجهر به گونیومتر $\theta-\theta$ با فیلتر نیکلی و آند مسی با طول موج 40 mA $1/540.6 \text{ \AA}$ ($\lambda_{\text{CuK}\alpha}$)، با ولتاژ 40 kV و جریان 20 تا 90 درجه در محدوده 2θ برابر 20 درجه در نظر گرفته شد. فازشناسی الگوهای تفرق اشعه ایکس توسط نرم افزار Xpert Highscore انجام شد. به منظور مشاهده دانه‌ها و تحلیل دقیق‌تر ریزساختار نمونه‌های لایه نازک، تصاویر میکروسکوپی الکترونی روبشی (SEM) با بزرگنمایی 60 هزار برابر از نمونه‌ها تهیه شد. ولتاژ مورد استفاده در تفنگ الکترونی برابر 15 kV ، شرکت سازنده دستگاه TESCAN و مدل VEGA است. زبری و توپوگرافی سطح توسط میکروسکوپ نیروی اتمی (AFM) با مدل دستگاه CP-Research که شرکت سازنده آن Veeco Research شد. تصاویری که به وسیله پروب این میکروسکوپ گرفته شد در حالت غیر تماسی قرار داشت. برای اندازه‌گیری نیروی پسماندزدا و دیگر خواص مغناطیسی لایه‌های نازک FePt از دستگاه مغناطومتر ارتعاشی نمونه (VSM) استفاده شد. این آزمون در دمای محیط انجام شد.

نتایج و بحث

اثر دمای بازپخت بر خواص ساختاری لایه نازک با بررسی‌های نرم افزاری که بر روی طیف‌های اشعه نمونه‌ها صورت گرفت، این نتیجه حاصل می‌شود که با بازپخت لایه نازک FePt در دمای 450°C ، استحاله منظم شدن $\text{A1-FePt} \rightarrow \text{L1}_0\text{-FePt}$ اتفاق افتاده است. در شکل ۱ طیف‌های XRD نمونه بدون بازپخت و نمونه‌های بازپخت شده در دماهای مختلف نشان داده شده است. در نتایج طیف تفرق اشعه ایکس تمام نمونه‌های بازپخت شده دارای پیک‌های صفحات مختلف $\text{L1}_0\text{-FePt}$ هستند. با این حال در تعدادی از نمونه‌ها پیک‌هایی ظاهر شده است که مربوط به FePt نیست. یکی

$$S = \left(\frac{1 - (\frac{c}{a})_{cal}}{1 - (\frac{c}{a})_{sf}} \right)^{1/2} \quad (3)$$

در رابطه بالا $(\frac{c}{a})_{cal}$ و $(\frac{c}{a})_{sf}$ به ترتیب تتراگونالیته محاسبه شده و تتراگونالیته ابرشبکه کاملاً منظم است. برای نمونه‌های بازپخت شده علاوه بر نسبت $\frac{c}{a}$ ، پارامتر نظم نیز محاسبه شده است.

در جدول ۱ این اطلاعات آورده شده است و روند افزایش پارامتر نظم به صورت نمودار در شکل ۳ نشان داده شده است. ملاحظه می‌شود که با افزایش دمای بازپخت از 450°C به 650°C پارامتر نظم از $0/05$ به 1 در افزایش یافته است. همانطور که گفته شد پارامتر نظم ابر شبکه با نظم بلند برد برابر 1 است. بنابراین در این نمونه نیز نظم بلند برد ایجاد شده و تمام اتم‌های آهن و پلاتین در مکان‌های صحیح خود قرار گرفته‌اند. در این شبکه ناهمسانگردی مغناطیک‌ریستالی در جهت محور c حداقل مقدار بوده و در صورتی که میدان مغناطیسی در این جهت اعمال شود بالاترین نیروی پسماندزدا به دست می‌آید.

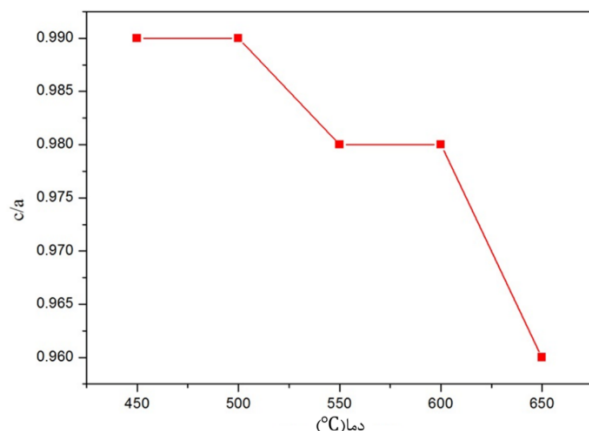
جدول ۱. اطلاعات کربیستالوگرافی شبکه منظم FePt نسبت به دمای آنیل.

دمای آنیل ($^{\circ}\text{C}$)	c/a	S
۴۵۰	۰/۹۹	۰/۰۵
۵۰۰	۰/۹۹	۰/۰۵
۵۵۰	۰/۹۸	۰/۰۷۱
۶۰۰	۰/۹۹	۰/۰۵
۶۵۰	۰/۹۶	۱

شکل‌های ۴ تا ۹ تصاویر میکروسکوپی الکترونی روبشی لایه‌های نازک قبل از بازپخت و بازپخت شده در دماهای مختلف را نشان می‌دهد.

و پلاتین در داخل شبکه تتراگونال FePt، پارامتر نظم افزایش یافته است. علاوه بر این باید تنش حاصل از اختلاف ضریب انبساط حرارتی بین زیرلایه شیشه‌ای و لایه نازک نیز در نظر گرفته شود.

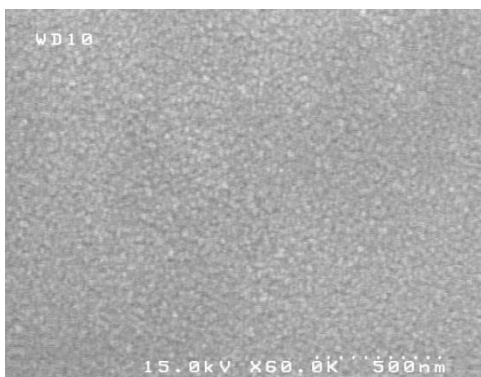
نسبت $\frac{c}{a}$ برای ساختار تتراگونال L1₀ با نظم کامل $0/96$ است ولی در ساختارهایی با نظم کمتر، این مقدار بیشتر است [۹]. با افزایش دمای بازپخت، ضریب نفوذ اتم‌ها افزایش یافته و اتم‌های آهن و پلاتین بیشتری در موقعیت‌های مشخص خود در شبکه FePt قرار می‌گیرند. در نتیجه تتراگونالیته شبکه منظم کاهش می‌یابد. زیاد بودن نسبت $\frac{c}{a}$ در دمای 450°C دلیلی بر کم بودن نظم ابرشبکه است. با افزایش دما از 450°C به 650°C نسبت $\frac{c}{a}$ از $0/96$ به $0/99$ کاهش یافته است (شکل ۲).



شکل ۲. تغییرات پارامتر $\frac{c}{a}$ ابرشبکه FePt نسبت به دمای آنیل.

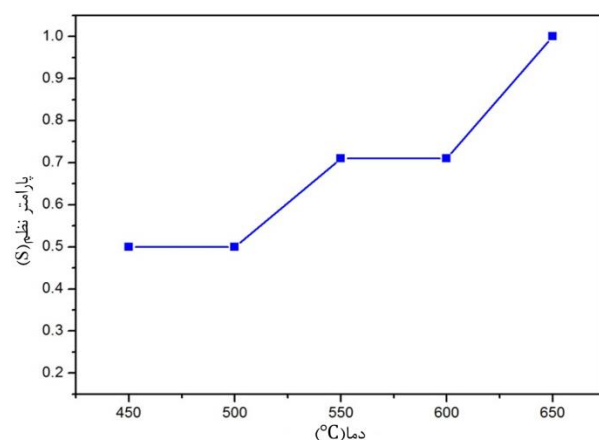
اما برای اینکه دید بهتری درباره منظم شدن در این شبکه به دست آید پارامتر نظم (S) تعریف می‌شود و می‌توان منظم شدن را به صورت کمی و با عدد نشان داد [۲۱]. در شبکه با نظم کامل این مقدار برابر 1 است و با کاهش نظم شبکه مقدار آن کاهش می‌یابد. برای به دست آوردن پارامتر نظم روابط مختلفی وجود دارد اما برای لایه‌های نازک، نسبت $\frac{c}{a}$ تجربی و نسبت $\frac{c}{a}$ ابرشبکه کاملاً منظم که توسط شنگ ارایه شده است، مناسب است:

تا حدودی کاهش یافته است. اندازه گیری‌های کمی دانه‌ها این موضوع را تأیید می‌کند زیرا میانگین اندازه دانه محاسبه شده برای تصویر ۵ حدود 33nm است. با توجه به الگوی تفرق اشعه ایکس دو نمونه، مشاهده می‌شود که در دمای 450°C استحاله منظم شدن $\text{A}1\text{-FCC}\rightarrow\text{L}1_0\text{-FCT}$ در لایه نازک آهن-پلاتین اتفاق افتاده شده است و به دلیل اینکه این استحاله همراه با جوانهزنی و رشد است، در دمای بازپخت 450°C دانه‌های مشاهده شده مربوط به جوانه‌های فاز جدید است. بنابراین میانگین اندازه دانه کاهش یافته است. اما به خاطر شرایط ترمودینامیکی و سیستمیکی اتم‌ها و جهت‌گیری دانه‌ها نسبت به یکدیگر، سرعت رشد بعضی از جوانه‌ها نسبت به دیگر جوانه‌ها بیشتر بوده و محدوده توزیع اندازه دانه‌ها نسبت به تصویر ۴ تا حدودی افزایش پیدا کرده است.



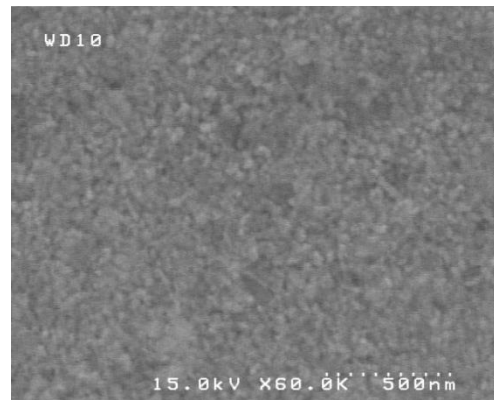
شکل ۵. تصویر SEM لایه نازک FePt بازپخت شده در دمای 450°C .

با افزایش دمای بازپخت به 500°C مورفولوژی سطح نمونه تغییر کرده است و از حالت دانه‌ای به حالت پیوسته تبدیل شده است. این مورفولوژی در تصویر ۶ به وضوح قابل مشاهده است و بیشتر از اینکه دانه‌بندی مشخص باشد مورفولوژی سطح لایه نازک مشهور است. همچنین با دقت در این تصویر متوجه می‌شویم که سطح لایه نازک دارای پستی و بلندی است و مناطق بلندتر حالت پیوسته‌ای دارند. در این دما سرعت رشد دانه‌ها بیشتر از سرعت جوانهزنی فاز جدید بوده و به همین دلیل میانگین



شکل ۳. تغییرات پارامتر S ابرشبکه FePt نسبت به دمای آنیل.

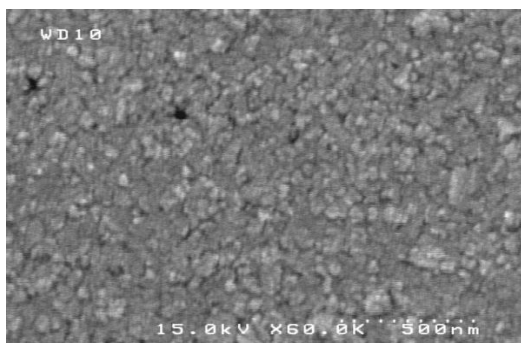
با افزایش دمای بازپخت علاوه بر رشد دانه، مورفولوژی سطحی تغییر یافته است. در تصویر ۴ دانه‌ها به صورت مجزا و با اندازه تقریباً یکسان دیده می‌شود. محدوده توزیع اندازه دانه‌ها بسیار کم است، بنحوی که اکثر دانه‌ها در محدوده $30\text{--}50\text{ nm}$ قرار دارند و درصد کمی از دانه‌ها در محدوده $10\text{--}20\text{ nm}$ و $50\text{--}60\text{ nm}$ قرار 35nm دارند. میانگین اندازه دانه در این نمونه حدود است.



شکل ۴. تصویر SEM لایه نازک FePt بدون بازپخت.

در دمای بازپخت 450°C همانند تصویر نمونه قبل از بازپخت دانه‌ها به صورت مشخص و مجزا از یکدیگر دیده می‌شوند. اندازه دانه‌ها در این نمونه نیز همانند نمونه قبل نزدیک به هم است. اما با بررسی دقیق‌تر مشاهده می‌شود که علیرغم بازپخت نمونه در این دما، اندازه دانه

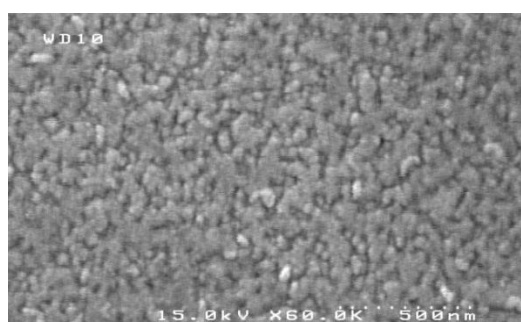
رشد غیرعادی برخی از دانه‌ها است. به خاطر تنش در فصل مشترک لایه نازک با لایه میانی PtIr، مکان‌های مرجحی برای جوانه‌زنی فاز جدید یافت می‌شود. به عبارت دیگر جوانه‌زنی فاز منظم FePt به صورت تصادفی نبوده و غیرهمگن است. در نتیجه نیروی محرکه برای رشد آن‌ها بیش از سایر دانه‌ها است.



شکل ۷. تصویر SEM لایه نازک FePt بازپخت شده در دمای

۵۵۰°C

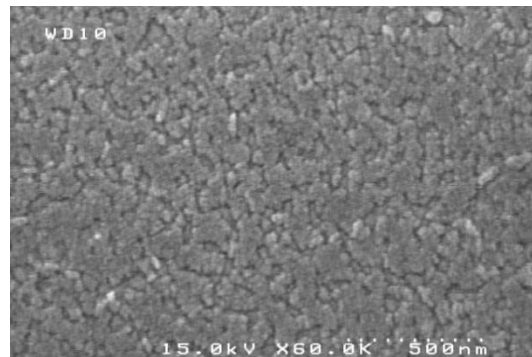
برای بررسی بیشتر رشد و مورفوژوژی دانه‌ها، دمای بازپخت به ۶۰۰ و حتی ۶۵۰°C افزایش یافته است. در دمای ۶۰۰°C پیوستگی دانه‌ها به یکدیگر بیشتر شده است و در بعضی موارد تشخیص دانه‌های مجرزا از یکدیگر مشکل است. میانگین اندازه دانه در این دما حدود ۵۹nm است که نشان از رشد دانه است. در تصاویر مربوط به این دما نیز پستی و بلندی دیده می‌شود. محدوده قطر دانه‌ای که در این دما اندازه گیری شده است، در حدود ۲۸nm تا ۹۵nm است (شکل ۸).



شکل ۸. تصویر SEM لایه نازک FePt بازپخت شده در دمای

۶۰۰°C

اندازه دانه‌ها افزایش یافته و حدوداً به ۴۴nm رسیده است. با توجه به اینکه ضخامت لایه نازک برابر ۱۰۰nm است، مرزدانه‌های فاز جدید به سطح لایه نازک و یا فصل مشترک بین لایه نازک و لایه میانی نرسیده و به صورت سه‌بعدی رشد کرده‌اند. با مقایسه این تصویر با تصاویر نمونه‌های قبل معلوم می‌شود که یکنواختی اندازه دانه کاهش یافته است و به دلیل سرعت رشد زیاد، بعضی از دانه‌ها از اندازه بزرگتری نسبت به سایر دانه‌ها برخوردارند و حتی اندازه بعضی از آن‌ها به بیش از ۷۰nm رسیده است.



شکل ۶. تصویر SEM لایه نازک FePt بازپخت شده در دمای

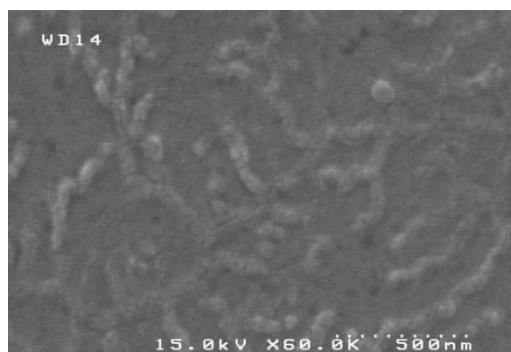
۵۰۰ °C

با بازپخت نمونه در دمای ۵۵۰°C مورفوژوژی پیوسته‌ای که در تصویر مربوط به نمونه قبل وجود داشت، دیده نمی‌شود و بیشتر مورفوژوژی به صورت دانه‌ای است. با این وجود به نظر می‌رسد به دلیل تغییر جهت رشد دانه‌ها، سطح بعضی از آن‌ها نسبت به سطح زمینه بالاتر است. همچنین با وجود رشد کلی دانه‌ها، اندازه بعضی از دانه‌ها خیلی بیشتر از حد متوسط است. با اینکه میانگین اندازه دانه حدود ۵۵nm است، اما دانه با قطر حدود ۹۱nm نیز اندازه‌گیری شده است. برای این موضوع دو دلیل می‌توان آورد؛ ممکن است در این دما هم زمان با رشد دانه تغییر جهت‌گیری در بعضی از دانه‌ها اتفاق افتاده و دانه‌های مجاور با جهت‌گیری نزدیک به هم، به یکدیگر بیوندند و مرز بین آن‌ها تقریباً از بین برود. دلیل دوم،

در شکل ۱۰ روند افزایش اندازه دانه برای ۴۵۰، ۵۰۰، ۵۵۰ و ۶۰۰°C آورده شده است. ملاحظه می‌شود با که افزایش دما از ۴۵۰°C به ۶۰۰°C میانگین اندازه دانه حدود از ۳۳nm به ۵۹nm افزایش یافته است.

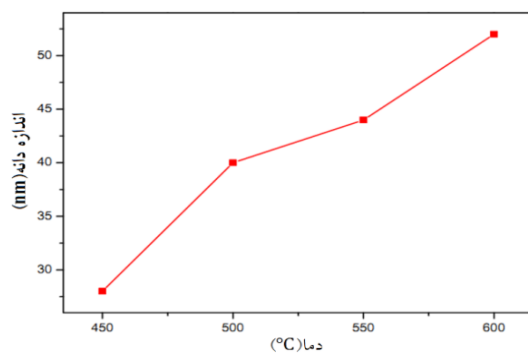
اثر دمای بازپخت بر خواص سطحی و زبری لایه نازک یکی از زمینه‌های قابل بررسی لایه‌های نازک زبری سطحی آنها است. در اکثر موارد سطح لایه نازک زبر و دارای پستی و بلندی است. این پستی و بلندی در حین رسوب‌دهی ایجاد شده و متغیرهای زیادی بر آن تأثیر گذار است. در حین بازپخت نیز عوامل متعددی مانند رشد و یا به هم پیوستن دانه‌ها می‌تواند موجب افزایش زبری سطح شود. زبری بیش از اندازه می‌تواند روی خواص فیزیکی لایه نازک و عملکرد آن به عنوان حافظه‌های مغناطیسی تأثیر منفی داشته باشد. در شکل ۱۱ تصاویر میکروسکوپی نیروی اتمی نمونه‌های بازپخت شده در دماهای مختلف نشان داده شده است. در کلیه تصاویر مورفلوژی مجزا و جزیره‌ای وجود دارد. با توجه به اندازه دانه‌ها که از تصاویر میکروسکوپی الکترونی روبرویی به دست آمد، هر یک از این مناطق شامل چندین دانه هستند. اما با افزایش دمای بازپخت از ۴۵۰°C به ۵۰۰°C این مورفلوژی مشخص‌تر شده است.(۱۱)(الف) و (ب) برای به دست آوردن زبری، میانگین مریعات ارتفاع برآمدگی‌ها محاسبه می‌شود. این مقدار برای نمونه بازپخت شده در دمای ۴۵۰°C حدود ۳/۸nm است. در حافظه‌های مغناطیسی با نزدیک شدن سطح لایه‌نازک به هد، گرادیان میدان مغناطیسی اعمالی بهبود می‌یابد. بنابراین کاهش فاصله مطلوب است. به طور معمول این فاصله برابر ۱۰nm است. ملاحظه می‌شود که زبری بدست آمده در دمای ۴۵۰°C کمتر از ۱۰nm است.

در دمای بازپخت ۶۵۰°C مورفلوژی سطح به یکباره تغییر قابل توجهی یافته است و دانه‌بندی معمولی که در تصاویر قبل مشاهده می‌شد، دیده نمی‌شود در تصویر میکروسکوپی الکترونی مربوط به این دمای بازپخت(شکل ۹) دو نوع ساختار دیده می‌شود: مناطق یکنواخت و مناطق سوزنی شکل که داخل زمینه صاف و هموار پخشش شده‌اند. ساختار سوزنی دارای جهت‌گیری خاصی نیست و به صورت تصادفی قرار گرفته است. در این دما به دلیل تغییر جهت رشد دانه، این چنین مورفلوژی ایجاد شده است. به دلیل اینکه مورفلوژی دانه‌ای در این تصویر وجود ندارد، میانگین اندازه دانه برای آن محاسبه نشد. به نظر می‌رسد که دمای بازپخت ۶۵۰°C بیش از اندازه بالا بوده و به خاطر از بین رفتگی دانه‌بندی معمول، برای بازپخت لایه‌های نازک مناسب نیست.

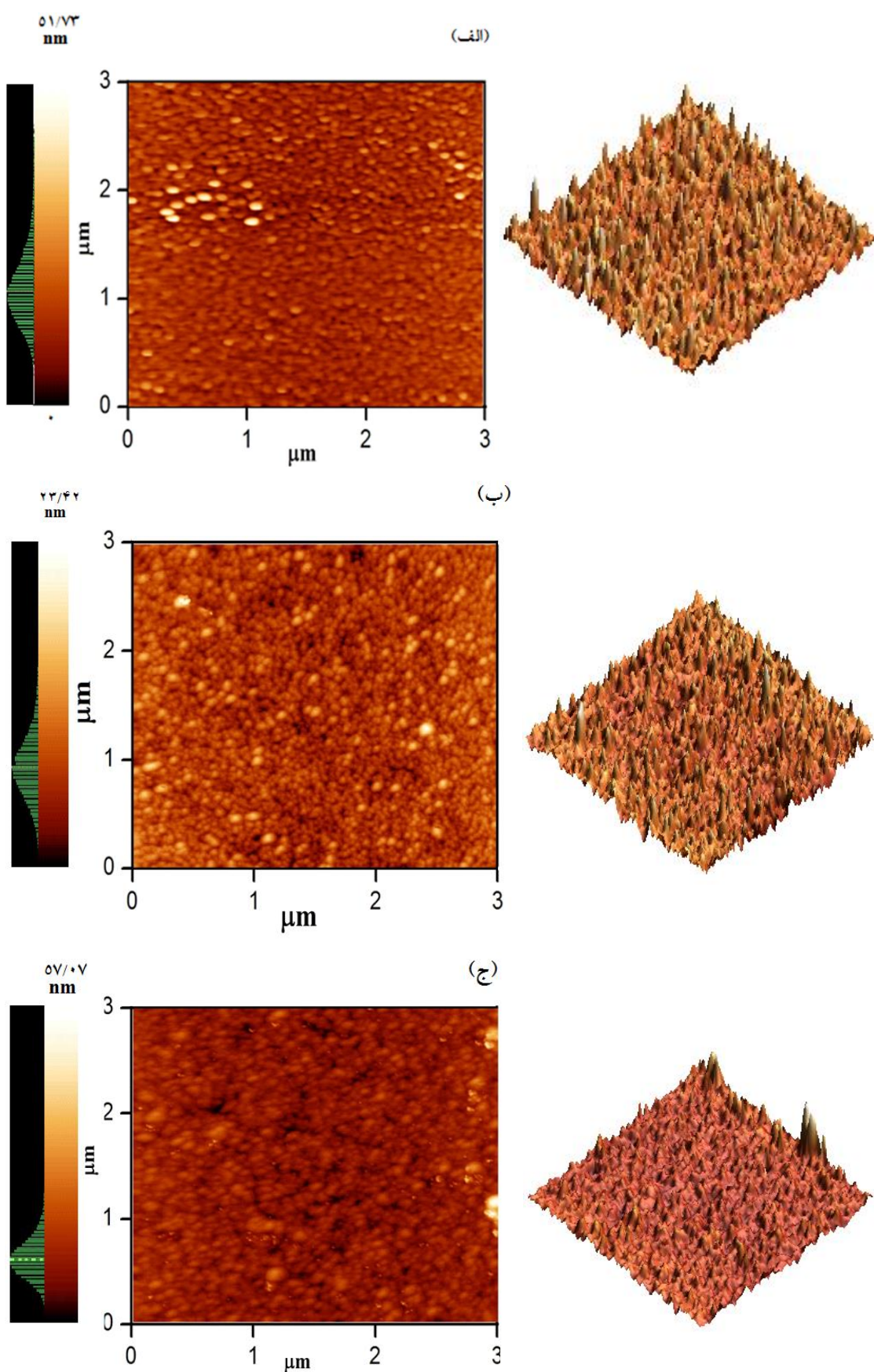


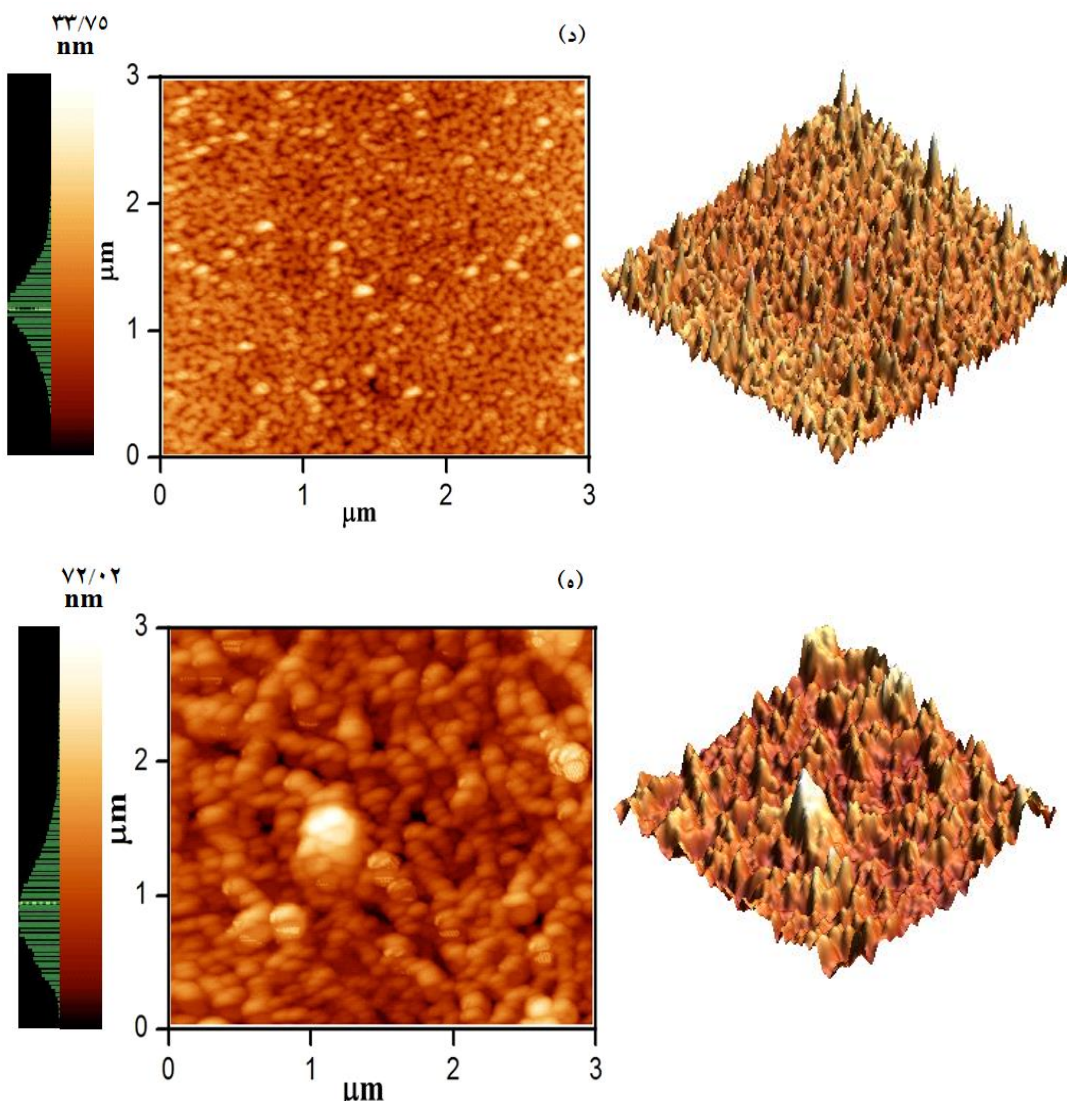
شکل ۹. تصویر SEM لایه نازک FePt بازپخت شده

در دمای ۶۵۰°C.



شکل ۱۰. اندازه دانه‌های لایه‌های نازک FePt بازپخت شده نسبت به دمای بازپخت.



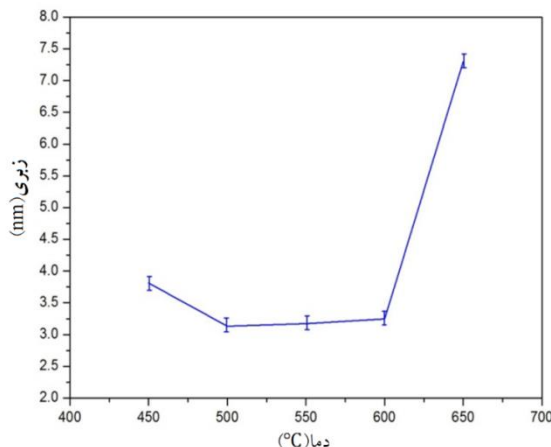


شکل ۱۱. تصاویر میکروسکوپی نیروی اتمی نمونه‌های آنیل شده در دمای (الف) 450°C ، (ب) 500°C ، (ج) 550°C ، (د) 550°C و (ه) 600°C .

اندازه مناطق مجزا نسبت به دمای قبل افزایش یافته است. به نظر می‌رسد جوانه‌های فاز جدید پس از تشکیل با نرخ‌های متفاوتی رشد یافته‌اند و یا حتی ممکن است برخی از دانه‌های مجزا به یکدیگر پیوسته باشند و تشکیل خوش‌های بزرگتری را داده‌اند. بنابراین پستی و بلندی‌های ایجاد شده درشت‌تر هستند. این موضوع از تصاویر سه بعدی بهتر قابل تشخیص است. با مقایسه تصاویر سه بعدی دمای آنیل 500°C و 550°C با یکدیگر ملاحظه می‌شود که پستی و بلندی‌های سطح نمونه بازپخت شده در دمای 550°C درشت‌تر است. بنابراین

و این مقدار زبری برای حافظه‌های مغناطیسی مناسب است. ولی هر قدر این زبری کمتر باشد فاصله هد تا سطح لایه نازک را می‌توان کاهش داد. در این صورت عملکرد حافظه و هد بهبود می‌یابد. شکل ۱۱(ب) تصویر میکروسکوپی نیروی اتمی نمونه بازپخت شده در دمای 500°C نشان می‌دهد. در این تصویر مورفولوژی مجزا نسبت به دمای 450°C مشخص‌تر است. برخلاف تصاویر نمونه قبل، در این تصاویر اندازه این مناطق کمتر بوده و حدود 50 nm است. زبری سطح این نمونه در حدود به $2/1\text{ nm}$ کاهش یافته است. در دمای آنیل 550°C دوباره

در شکل ۱۲ زبری سطح نمونه‌ها نسبت به دمای بازپخت نشان داده شده است. مطابق این شکل با افزایش دمای بازپخت، زبری سطح در حالت کلی افزایش یافته است. با این وجود زبری در دمای 500°C نسبت به دمای 450°C کاهش یافته است. همچنین در دمای 650°C زبری سطح به یکباره افزایش شدیدی پیدا کرده است. رشد دانه، پیوستن دانه‌های مجزا به یکدیگر و آزاد شدن تنش در حین بازپخت از عواملی هستند که باعث افزایش زبری شده‌اند.

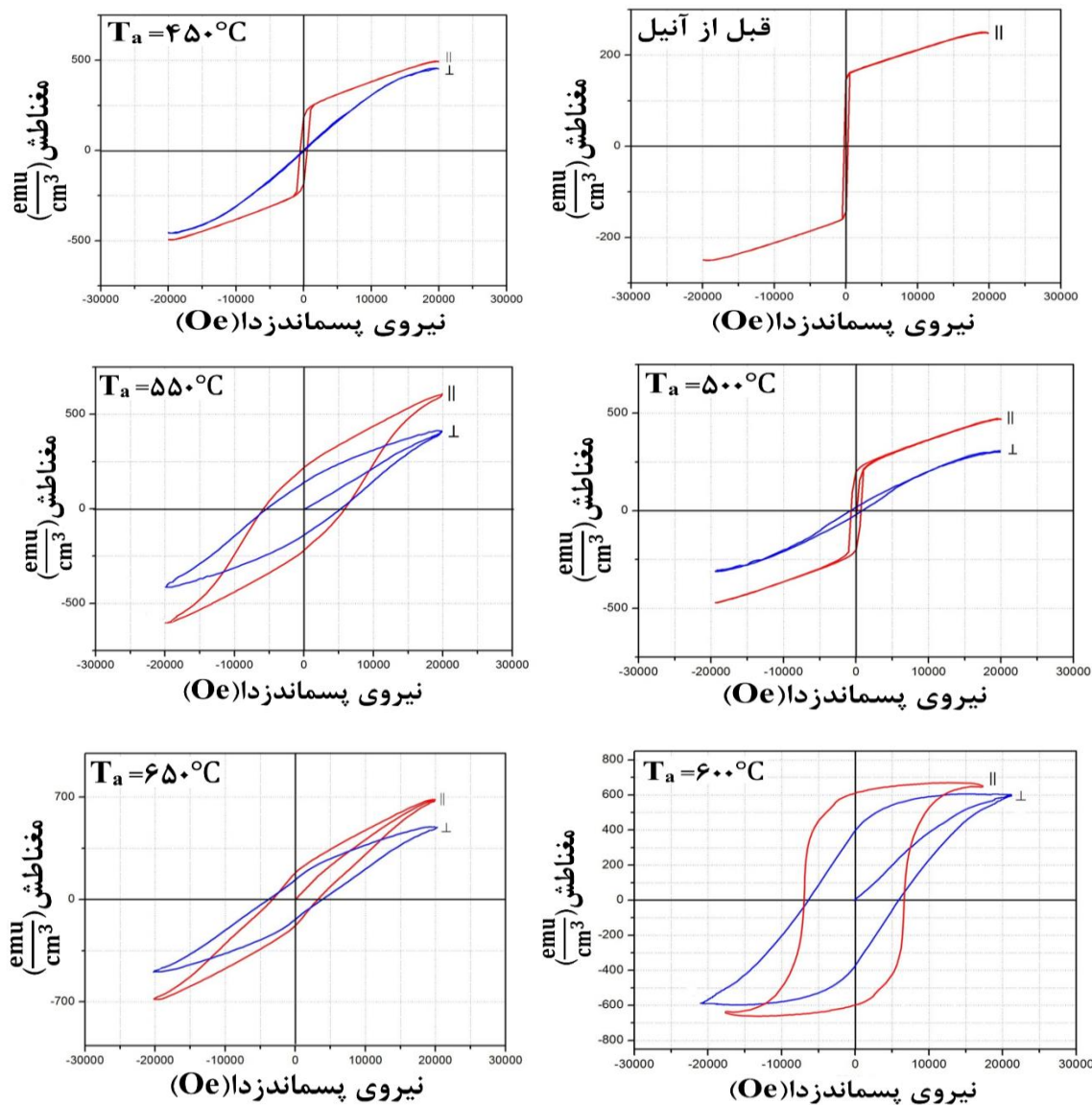


شکل ۱۲. زبری سطح لایه‌های نازک FePt بازپخت شده نسبت به دمای بازپخت.

اثر دمای بازپخت بر خواص مغناطیسی لایه نازک در شکل ۱۳ منحنی پسماند نمونه‌های بازپخت شده در دماهای مختلف نشان داده شده است. منحنی پسماند نمونه قبل از بازپخت پهنای بسیار کمی داشته و شبیه منحنی پسماند مواد فرومغناطیس نرم است. بر اساس نتایج تفرق اشعه ایکس ملاحظه می‌شود که این نمونه دارای ساختار مکعبی وجود مرکزدار نامنظم است. اگرچه در این ساختار جهت $\langle 111 \rangle$ جهت آسان مغناطیسی محسوب می‌شود اما به دلیل اینکه دانسیته اتمی در جهات مختلف تفاوت چندانی نمی‌کند، ناهمسانگردی مغناطیکریستالی نیز در جهات مختلف تغییر زیادی نمی‌کند و نسبت به FePt منظم ناهمسانگردی

زبری سطح نسبت به دمای قبل افزایش یافته است. با وجود مشاهده مورفولوژی مجزا در این دما، اما به نظر می‌رسد که این جزیره‌ها در حال پیوستن به یکدیگر هستند و تمایل به تشکیل خوشه‌های بزرگتر را دارند. بنابراین انتظار می‌رود در نمونه بازپخت شده در دمای 600°C مورفولوژی پیوسته‌ای مشاهده شود. زبری سطح در دمای بازپخت 550°C حدود $550^{\circ}\text{C} / 2\text{nm}$ است.

با افزایش دمای بازپخت به 600°C ملاحظه می‌شود که مورفولوژی سطح به از حالت دانه‌ای و جزیره‌ای به حالت پیوسته تبدیل شده و تعداد مناطق مجزا کاهش یافته است (۱۱(د)). این مناطق جهت‌گیری خاصی ندارند و به صورت تصادفی است. زبری سطح در این دما حدود $550^{\circ}\text{C} / 2\text{nm}$ است و نسبت به دمای بازپخت به 650°C نکرده است. با افزایش دمای بازپخت به 650°C مورفولوژی سطح به یکباره تغییر یافته است. تصویر میکروسکوپی نیروی اتمی سطح این نمونه به صورت دو بعدی و سه بعدی در شکل ۱۱(ه) نشان داده شده است. طبق تصویر دو بعدی ملاحظه می‌شود که اندازه مناطق روشن بزرگتر شده است و در حدود 200 nm افزایش یافته است و از تصویر سه بعدی این نمونه پستی و بلندی نسبتاً بالای سطح کاملاً مشخص بوده و مناطق با ارتفاع زیاد به صورت تپه‌هایی دیده می‌شود. به دلیل اینکه دمای 650°C نسبتاً بالاست، مناطق مجزا بیش از پیش به یکدیگر پیوسته‌اند و تشکیل خوشه‌های بزرگتر را داده‌اند و این خوشه‌ها بر روی مورفولوژی سطح تأثیر گذاشته است. میزان به هم پیوستن دانه‌ها و اندازه خوشه‌ها تأثیر بسیار زیادی روی زبری دارد. زبری سطح در این نمونه در حدود $7 / 3\text{ nm}$ افزایش یافته است. این زبری بسیار بالاست و برای حافظه‌های مغناطیسی مناسب نیست. با توجه به فاصله هد تا سطح لایه نازک احتمال اینکه هد با سطح برخورد داشته باشد بسیار زیاد است. در این صورت عملکرد حافظه با اختلال مواجه می‌شود و حتی ممکن است موجب آسیب رسیدن به هد و سطح لایه نازک شود.



شکل ۱۳. منحنی های پسماند لایه های نازک FePt بازپخت شده در دماهای مختلف.

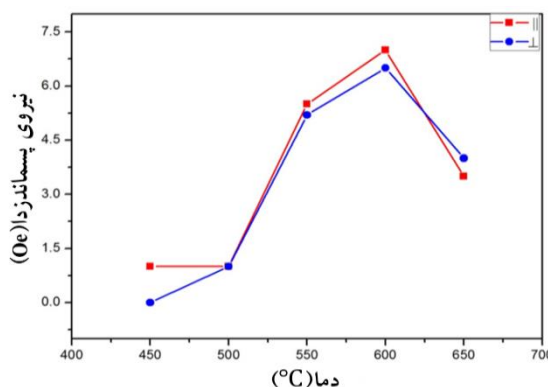
لایه های نازک در دماهای مختلف صورت می پذیرد؛ چرا که با انجام استحالة نامنظم به منظم ساختار کریستالوگرافی از مکعبی وجوده پر نامنظم به FCT منظم تبدیل می شود. ناهمسانگردی مغناطوکریستالی در جهت محور C ساختار تتراتگونال FePt بسیار بالاست و موجب افزایش نیروی پسماندزدا می شود.

در نمونه های بازپخت شده منحنی پسماند عمودی نیز رسم شده است. در دمای 450°C با وجود اینکه ساختار تتراتگونال FePt تشکیل یافته است اما همانند نمونه قبل

مغناطوکریستالی کمتری دارد. در این نمونه پس از اشباع مغناطیدگی، به دلیل کم بودن طول بر هم کنش تبادلی، با حذف میدان مغناطیسی گشتاورهای مغناطیس به سرعت به حالت اولیه خود بر می گردند. بنابراین با وجود اینکه اندازه دانه ها در این نمونه ها نسبت به دیگر نمونه ها کمتر است، نیروی پسماندزدای آن بسیار کم است و برای استفاده در حافظه های مغناطیس مناسب نیست. برای افزایش ناهمسانگردی و در نتیجه نیروی پسماندزدا باید ساختار کریستالوگرافی تغییر یابد. این کار با بازپخت

وجود ندارد و مورفولوژی سطح به یکباره تغییر یافته است. کاهش نیروی پسماندزدای صفحه‌ای و عمودی در این دما را می‌توان به مورفولوژی این نمونه نسبت داد. در این دما دانه‌ها بیش از اندازه رشد کرده‌اند و مرزدانه‌ها بیش از پیش کاهش یافته‌اند. با کاهش مرزدانه‌ها موانع در مقابل حرکت حوزه‌های مغناطیسی نیز کاهش یافته است. بنابراین دو قطبی‌های مغناطیسی در شدت میدان کمتری به حالت اولیه خود باز می‌گردند. در نتیجه نیروی پسماندزدا کاهش یافته و مقدار آن به کمتر از ۵kOe رسیده است.

برای مقایسه بهتر خواص مغناطیسی، نیروی پسماندزدای صفحه‌ای و عمودی نسبت به دمای بازپخت در شکل ۱۴ آورده شده است. ملاحظه می‌شود که با افزایش دمای بازپخت تا 600°C نیروی پسماندزدای عمودی و صفحه‌ای تقریباً به یک میزان افزایش یافته‌اند و در دمای 650°C دوباره کاهش یافته‌اند. همچنین در همه دمایا به جز دمای 650°C نیروی پسماندزدای صفحه‌ای اندکی بیشتر از نیروی پسماندزدای عمودی است.



شکل ۱۴. تغییرات نیروی پسماند زدای صفحه‌ای و عمودی نمونه‌های بازپخت شده در دمای‌های مختلف.

نتیجه گیری

- لایه نازک آهن-پلاتین به ضخامت 100 nm به طور یکنواخت بر سطح Corning glass رسوب‌دهی شد.

نیروی پسماندزدای آن بسیار کمتر از مقدار مورد انتظار است. با مراجعه به نتایج تعرق اشعه ایکس و اطلاعات کریستالوگرافی مربوط به این نمونه ملاحظه می‌شود که با وجود تشکیل فاز تتراگونال منظم پارامتر نظم آن برابر $5/0$ است. بنابراین می‌توان گفت ساختار L1_0 -FePt به وجود نیامده است و همین امر موجب کاهش ناهمسانگردی مغناطیسی کریستالی این نمونه شده است. با افزایش دمای بازپخت به 500°C تغییر محسوس در منحنی پسماند رخ نداده است و همانند شکل قبل ملاحظه می‌شود که نیروی پسماندزدا بسیار کم است. در این نمونه نیز لایه نازک FePt دارای خواص مغناطیسی نرم است چرا که پارامتر نظم این نمونه نیز همانند نمونه قبل کم و برابر $5/0$ است. بنابراین نمونه‌های بازپخت شده در دمای 450 و 500°C در کاربرد به عنوان حافظه مغناطیس مناسب نیستند. نمونه بازپخت شده در دمای 550°C منحنی پسماند صفحه‌ای و عمودی پهن‌تر دارد و نیروی پسماندزدای مغناطیسی نسبت به نمونه‌های قبل افزایش نسبتاً زیادی یافته است. پارامتر نظم این نمونه $7/1$ بوده و شبکه FePt به ساختار تتراگونال کاملاً منظم نزدیک‌تر شده است. از سوی دیگر منحنی پسماند صفحه‌ای و عمودی به یک اندازه پهن شده است و می‌توان نتیجه‌گیری کرد که جهت‌گیری ترجیحی شبکه‌ای در این نمونه وجود ندارد. این موضوع قبل توسط پیک‌های طیف اشعه ایکس تأیید شده بود. با افزایش دمای بازپخت به 600°C نیروی پسماندزدای صفحه‌ای و عمودی افزایش چشمگیری نداشته و حدود $5/3$ kOe است. تنها تفاوت آن با دمای 550°C افزایش نسبت مربعی شدن (S) حالت صفحه‌ای به $9/3$ است. این مقدار برای حافظه‌های مغناطیسی بسیار مناسب است. اما در دمای بازپخت 650°C نیروی پسماندزدا و همچنین نسبت مربعی شدن کاهش یافته است. اگر به تصویر میکروسکوپی الکترونی روبشی این نمونه (شکل ۹) توجه شود ملاحظه می‌شود که دانه‌بندی مورد انتظار در آن

مراجع

1. C. D. Mee, E. D. Daniel, *Magnetic Recording Technology*, 2nd edition of part 1 Magnetic Recording Hand book, 1990.
2. F. Jorgensen, *The Complete Handbook of Magnetic Recording*, 4rd edition, 1995.
3. D. Weller, A. Moser, L. Folks, M. E. Best, W. Lee, M. F. Toney, M. Schwickert, J.-U. Thiele, M. F. Doerner, *High K_u materials approach to 100 Gbits/in IEEE*, Trans. Magn36 (2000) 10-15.
4. B. D. Cullity, C. D. Graham, *Introductoin to magnetic materials*, 2nd edition, IEEE Press, 2009.
5. Z. Zeliang, *The effects of Additional Nonmagnetic layers on Structure and Magnetic properties of Li₀ FePt thin films*, A thesis submitted for the degree of doctor philosophy, Departement of material science, Natoinal University of Singapore, 2007.
6. Y. N. Hsu, S. Jeong, D. E. Laughlin, D. N. Lambeth, *The effects of Ag underlayer and Pt intermediate layers on the microstructure and magnetic properties of epitaxial FePt thin films*, Magnetism and Magnetic Materials, 260(2003)282–294.
7. T. Shima, K. Takanashi, Y. K. Takahashi and K. Hono, *Preparation and magnetic properties of highly coercive FePt films*, Applied Physics Letters, 81(2002), 1050-1052.
8. M. Weisheit , L. Schultz, S. Fahler, *On the influence of composition on laser-deposited Fe-Pt films*, Magnetism and Magnetic Materials, 290–291(2005)570–572.
9. Zl. Zhao, J. Ding, Y. Li, G.M. Chow, J.S. Chen, and J.P. Wang, *Microstructural Studies of Li₀-FePt Thin Films with High Coercivity Fabricated at Low Deposition Temperatures*,

- ۲ نمونه قبل از بازپخت دارای شبکه کریستالی مکعبی وجوده پر با ساختار نامنظم آهن-پلاتین است.
- ۳ با بازپخت نمونه‌ها در دماهای ۴۵۰ و ۵۰۰°C شبکه تتراتگونال با ساختار منظم آهن-پلاتین تشکیل می‌یابد.
- ۴ با بازپخت نمونه‌ها در دمای بیش از ۵۰۰°C نظم بلند برد ایجاد می‌شود.
- ۵ با بازپخت نمونه‌ها در دمای ۵۰۰ تا ۶۵۰°C به دلیل رشد دانه و همچنین افزایش پستی و بلندی، میانگین اندازه دانه در حدود از ۳۳ تا ۵۹nm و زبری سطح حدوداً از ۳/۲ تا ۷/۳nm افزایش می‌یابد.
- ۶ قبل از بازپخت به دلیل ایجاد نشدن ساختار تتراتگونال منظم آهن-پلاتین، نیروی پسماندزدای صفحه‌ای حدود ۵kOe است.
- ۷ در دمای بازپخت ۴۵۰ و ۵۰۰°C به دلیل عدم ایجاد نظم بلندبرد و نامحسانگرددی مغناطوکریستالی کافی، نیروی پسماندزدای ۱kOe به دست می‌آید.
- ۸ با افزایش دمای بازپخت به ۵۵۰°C، نیروی پسماندزدا در حالت صفحه‌ای و عمودی به ترتیب به ۵/۵ و ۵/۲kOe به دست می‌آید.
- ۹ در دمای بازپخت ۶۰۰°C نسبت مربعی شدن در حالت صفحه‌ای به ۰/۹۴ افزایش می‌یابد.
- ۱۰ در دمای بازپخت ۶۵۰°C به دلیل رشد بیش از اندازه دانه‌ها و کاهش مرز بین آن‌ها به عنوان موانع در مقابل حرکت مرزدانه‌ها، نیروی پسماندزدای صفحه‌ای و عمودی به ۳/۵ و ۴/۵kOe کاهش می‌یابد.

18. J. C. Lodder, L. T. Nguyen, *FePt Thin Films: Fundamentals and Applications*, Encyclopedia of Materials: Science and Technology 2005.
19. S. Ostanin, S. S. A. Razee, J. B. Staunton, B. Ginatempo and E. Bruno, *Magnetocrystalline anisotropy and compositional order in Fe_{0.5}Pt_{0.5}: Calculations from an ab initio electronic model*, *Appl. Phys.*, 93(2003)453-457.
20. B. Laenens, F. M. Almeida, N. planckaert, K. Temst, J. Meersschaut, A. Vantomme, V. Rentenberger, M. Rennhofer and B. Sepoil, *Interplay between structural and magnetic properties of L1₀-FePt(001) thin films directly grown on MgO(001)*, *Applied Physics*, 105(2009) 1-6.
21. R. Naturalium, *Nanocrystalline Fe-Pt alloys: phase transformations, structure and magnetism*, to obtain the academic degree of Doctor of Science (Dr. rer. nat.), Faculty of Mathematics and Natural Sciences Dresend University Technology, Submitted on 2006.
10. T. Shima, T. Seki, K. Takanashi, Y. K. Takahashi, K. Hono, *Fabrication of L1₀ ordered FePt thin films with a canted easy magnetization axis on MgO(110) substrate*, *Magnetism and Magnetic Materials*, 272–276(2004)557–559.
11. X. H. Xu, H. Sh. Wu, F. Wang, X. Li, *Structure and magnetic properties of FePt and FePt/Ag thin films deposited by magnetron sputtering*, *Thin Solid Films*, 472 (2005)222-226.
12. S. Khizroev and D. Litmidov, *Perpendicular Magnetic Recording*, Kluwer Academic publishers, Boston, 2004.
13. S. Okamoto, O. Kitakami, N. KiKuchi, T. Miyazaki and Y. Shimada, *Size dependence of magnetic properties and switching behavior in FePt L1₀ nanoparticles*, *Physics Rewiew B*.67(2003) 1 -6.
14. M. Weisheit, L. Schultz and S. Fahler, *Textured growth of highly coercive L1₀ ordered FePt thin films on single crystalline and amorphous substrates*, *Applied Physic*, 95(2004)7482- 7491.
15. A. Martins, M. C. A. Fantini, A.D. Santos, *The influence of the deposition temperature and substrate on the properties of FePt thin films*, *Magnetism and Magnetic Materials*, 265 (2003)13–22.
16. N. Zotov, R. Hiergeist, A. Savan, A. Ludwig, *Effects of annealing time on the structural and magnetic properties of L1₀ FePt thinfilms*, *Thin Solid Films*, 518(2010)4977–4985.
17. J. Smit, *Magnetic Properties of Materials*, Ch. S. Middelhoke, McGraw-Hill, New York, 1971.
- Metallurgical and Materials Transaction A, 38A(2007)811-814.